

بررسی اثر دمای سینتر بر ریزساختار و فاکتور کیفیت سرامیکهای دی الکتریک مایکروویو با

ترکیب $0.88\text{Ba}([\text{Zn}_{0.6}\text{Co}_{0.4}]_{1/3},\text{Nb}_{2/3})\text{O}_3-0.1\text{Ba}(\text{Ga}_{1/2}\text{Ta}_{1/2})\text{O}_3-0.02\text{BaZrO}_3$

کیوان اسدیان*

^۱استادیار، پژوهشگاه مواد و انرژی

تاریخ ثبت اولیه: ۹۲/۳/۵، تاریخ دریافت نسخه اصلاح شده: ۹۲/۹/۳، تاریخ پذیرش قطعی: ۹۲/۹/۴

چکیده سرامیکهای دی الکتریک مایکروویو در دستگاه ها و سیستمهای مورد استفاده در فرکانسهای مایکروویو برای مثال تلفن های همراه و سیستمهای مخابرات ماهواره ای بکار میروند. ترکیب $0.88\text{Ba}([\text{Zn}_{0.6}\text{Co}_{0.4}]_{1/3},\text{Nb}_{2/3})\text{O}_3-0.1\text{Ba}(\text{Ga}_{1/2}\text{Ta}_{1/2})\text{O}_3-0.02\text{BaZrO}_3$ (BZCN-BGT-BZ) از طریق روش معمول ساخت سرامیکها یعنی آسیاب مخلوط پودرهای اولیه، کلسینه کردن مخلوط، آسیاب مجدد و سینتر قرص های پرس شده در دماهای مختلف تهیه شدند تا بتوان تأثیر دمای سینتر بر روی ریز ساختار و خواص دی الکتریکی را بررسی نمود. نتایج نشان داد که افزایش دمای سینتر باعث افزایش دانسیته میگردد و در 1500°C بالاترین دانسیته مشاهده شد. فاکتور کیفیت ($Q \times f$) نیز با بالا رفتن دمای سینتر افزایش پیدا کرد و در 1500°C بالاترین مقدار فاکتور کیفیت ($Q \times f$)، $16,000\text{GHz}$ مشاهده شد. افزایش در $Q \times f$ در اثر افزایش دمای سینتر ارتباط با افزایش دانسیته دارد. این افزایش را نمی توان به ارتقاء نظم در شبکه یا حضور سوپر ساختار در شبکه نسبت داد زیرا که پیک سوپر ساختار در الگوی پراش اشعه X مشاهده نشد. علاوه بر این احتمال وجود سوپر ساختار توسط بررسی اعوجاج در شبکه و بررسی تغییرات نسبت c/a (پارامترهای شبکه هگزاگونال سوپرساختار)، منتفی شد.

کلمات کلیدی: الکتروسرامیک، دی الکتریک مایکروویو، پروسکایت، سینتر، ریز ساختار، فاکتور کیفیت

The effect of sintering temperature on microstructure and microwave dielectric properties of $0.88\text{Ba}([\text{Zn}_{0.6}\text{Co}_{0.4}]_{1/3},\text{Nb}_{2/3})\text{O}_3-0.1\text{Ba}(\text{Ga}_{1/2}\text{Ta}_{1/2})\text{O}_3-0.02\text{BaZrO}_3$ ceramics

K. Asadian*¹

¹Materials and Energy Research Center

Abstract Microwave dielectric ceramics are extensively used in systems utilized at microwave frequencies for example mobile telephone and satellite devices. In this study ceramics with $0.88\text{Ba}([\text{Zn}_{0.6}\text{Co}_{0.4}]_{1/3},\text{Nb}_{2/3})\text{O}_3-0.1\text{Ba}(\text{Ga}_{1/2}\text{Ta}_{1/2})\text{O}_3-0.02\text{BaZrO}_3$ composition were prepared through the conventional ceramic processing; i.e. mixing and milling of the starting powders, calcination at 1100°C , second milling and sintering of pressed samples at different temperatures. The study showed that increasing sintering temperature resulted in an increase in density so that the highest density was observed at 1500°C . There was also an increase in quality factor ($Q \times f$) when sintering temperature was increased; $Q \times f$ was about $16,000\text{GHz}$ at 1500°C . The increase in quality factor is mainly due to the increase in density. Since superlattice reflections were not observed in XRD spectrum, the increase in quality factor can not be related to an increase in ordering degree. The presence of ordering can also be evaluated by changes in c/a ratio (c and a are lattice parameters of the hexagonal superlattice structure) and changes in lattice distortion. None of these two methods were able to show the existence of ordering.

Keywords: electroceramics, microwave dielectrics, perovskite, sintering, microstructure, quality factor.

* عهده دار مکاتبات

نشانی: کرج، مشکین دشت

تلفن: ۰۲۶-۳۶۲۸۰۰۴۰-۷، پیام نگار: k_asadian@merc.ac.ir و keivan.asadian@yahoo.com

۱- مقدمه

سرامیکهای دی‌الکتریک میکروویو در سیستمهای مخابراتی میکروویو برای مثال تلفن های همراه، سیستمهای مخابراتی ماهواره‌ای و غیره کاربرد فراوان دارند [۱]. سرامیکهای مورد استفاده در این زمینه باید سه شرط را دارا باشند:

۱- دارای فاکتور کیفیت (Q , Quality factor) بالایی باشند

$$Q = \frac{1}{\tan \delta}$$

واژه $Q \times f$ (که در آن f فرکانس اندازه‌گیری است) معمولاً بجای Q در بیان نتایج بکار می‌رود زیرا که امکان مقایسه Q که در فرکانسهای متفاوت اندازه‌گیری شده است را فراهم می‌آورد. یادآوری می‌شود حاصل $Q \times f$ در فرکانسهای میکروویو تقریباً مساوی می‌باشد.

۲- دارای ضریب دی‌الکتریک (ϵ_r) بالایی باشند. بدلیل اینکه ضریب دی‌الکتریک با اندازه قطعه تناسب معکوس دارد.

۳- دارای ضریب دمایی فرکانس رزونانس، Temperature Coefficient of Resonant Frequency (τ_f) نزدیک به

صفر باشند [۲].

یکی از مهمترین گروه‌های سرامیک‌های میکروویو، گروه بر مبنای فرمول $Ba(M_{1/3}Ta_{2/3})O_3$ که در آن Mg یا $M=Zn$ می‌باشد. ساختار این ترکیبات به اصطلاح پروسکایت پیچیده (Complex Perovskite) نامیده می‌شود. این گروه بخاطر آنکه فاکتور کیفیت بالایی دارند بنام سرامیکهای میکروویو با Q بالا شناخته می‌شوند که در عین حال ضریب دمایی فرکانس رزونانس آنها نیز نزدیک به صفر می‌باشد [۳]. این سرامیک‌ها دو مشکل را دارا می‌باشند. اول آنکه ساخت آنها به دما بالا و زمان زیاد احتیاج دارد و دیگری مسئله قیمت اکسید تتالم (Ta_2O_5) است. مسئله ساخت آنها با افزودن $BaZrO_3$ به ترکیب قابل حل می‌باشد، زیرا که افزایش این ماده بطور قابل ملاحظه‌ای زمان لازم برای رسیدن به یک محصول با خواص مناسب را کاهش می‌دهد [۴]. مسئله هزینه اکسید تتالم باعث شده است که توجه به سمت ترکیب $Ba(Zn_{1/3}Nb_{2/3})O_3$ (BZN) که در آن Ta با Nb جایگزین شده است و دارای قیمت خیلی پایین‌تری است، جلب شود [۵]. نکته‌ای که در مورد پروسکایت‌های پیچیده قابل ذکر است مسئله نظم در سایت B برای مثال سایت حاوی دو یون Zn و Nb در $Ba(Zn_{1/3}Nb_{2/3})O_3$ می‌باشد که بر فاکتور کیفیت تأثیر

میگذارد. در اینجا برای توضیح نظم از مراجع مربوط به ترکیب $Ba(Zn_{1/3}Ta_{2/3})O_3$ (BZT) که بطور وسیعی مورد تحقیق قرار گرفته است و ساختاری مشابه با $Ba(Zn_{1/3}Nb_{2/3})O_3$ دارد، استفاده می‌شود. ترکیب $Ba(Zn_{1/3}Ta_{2/3})O_3$ وقتی فاقد نظم است، دارای ساختار مکعبی ساده با تقارن $Pm\bar{3}m$ و $a \approx 0.4095$ nm میباشد. در حالت با نظم، نظم $1:2$ را می‌پذیرد که در آن یونهای Zn و Ta بطور مجزا بر روی صفحات (۱۱۱) قرار گرفته بطوریکه در جهت [۱۱۱] تکرار صفحات $\{ \dots Zn - Ta - Ta \dots \}$ مشاهده می‌شود [۶-۷]. سوپر ساختار (Superstructure) فرم با نظم، هگزاگونال (hexagonal) می‌باشد (تقارن $P\bar{3}m1$).

تحقیقات متعددی در ارتباط با ترکیب $Ba(Zn_{1/3}Nb_{2/3})O_3$ حاوی مواد افزودنی انجام پذیرفته است که در اینجا چند تحقیق منتخب مرتبط با مطالعه حاضر ارائه می‌شود.

اسکات و همکاران [۷] خواص ترکیبات با فرمول $(1-x) Ba(Zn_{1/3}Nb_{2/3})O_3 \cdot x Ba(Co_{1/3}Nb_{2/3})O_3$ را مورد مطالعه قرار دادند. دانسیته بدست آمده برای این سرامیک‌ها $95\% \leq$ بود. یک فاز دوم که دارای کمبود Zn و Co می‌باشد بر روی سطح و عمق نمونه‌های سبتر شده مشاهده شد. علت بوجود آمدن این فاز تبخیر Zn و Co از ترکیب در هنگام سبتر می‌باشد. با افزایش میزان Co در ترکیب، ϵ_r کاهش پیدا کرد. τ_f نیز با افزایش میزان Co کاهش پیدا کرد. τ_f ترکیب با 6 mol Zn نزدیک به صفر می‌باشد که به همین دلیل قسمت بعد مطالعه که بررسی اثر سرعت سرد کردن بعد از سبتر بود، بر روی این ترکیب صورت گرفت. مطالعات نشان می‌دهد که بالاترین Q زمانی که سرعت سرد کردن 3°C/h و دمای نهایی سرد کردن 900°C است، بدست می‌آید. علت مشاهده فوق این است که دمای استحاله فازی نظم - بی نظم برای ترکیب فوق حدوداً بین 1100°C تا 1250°C است و سرد کردن آهسته به دمایی زیر این دما باعث تشکیل نظم $1:2$ با درجه بالاتری می‌گردد که به نوبه خود باعث افزایش Q می‌گردد.

یو و همکاران [۸] اثر ترکیب و دمای سبتر از 1350°C تا 1450°C را بر روی خواص دی‌الکتریک میکروویو سرامیکهای $Ba[(Zn_{1-x}Co_x)Nb_{2/3}]O_3$ (BZCN) $x=0-0.8$ مورد مطالعه قرار دادند. بررسی XRD نشان داد که تمامی نمونه‌های

که در ترکیب (BCZN-BGT) $0.9\text{Ba}[(\text{Zn}_{0.6}\text{Co}_{0.4})\text{Nb}_{2/3}]\text{O}_3$ فقط ترکیب BCZN از نظر استوکیومتری قابل به تشکیل نظم ۱:۲ است و ترکیب BGT بدلیل دارا بودن نسبت یونی مناسب، نظم ۱:۱ را تشکیل داده و چون مقدار آن تنها ۱۰ درصد مولی است قابلیت بهم زدن نظم ۱:۲ را ندارد و بنابراین در ما بین حوزه‌های نظم ۱:۲، حوزه های نظم ۱:۱ را تشکیل می‌دهد.

در تحقیق حاضر اثر افزایش زمان سینتر بر ریز ساختار و فاکتور کیفیت سرامیک‌های بر مبنای ترکیب مورد مطالعه توسط رنی و همکاران [۹] یعنی $0.9\text{Ba}[(\text{Zn}_{0.6}\text{Co}_{0.4})\text{Nb}_{2/3}]\text{O}_3$ - $0.1\text{Ba}(\text{Ga}_{0.5}\text{Ta}_{0.5})\text{O}_3$ مورد بررسی قرار گرفته شده است. فرمول ترکیب مورد مطالعه به صورت $0.88\text{Ba}[(\text{Zn}_{0.6}\text{Co}_{0.4})_{1/3}, \text{Nb}_{2/3}]\text{O}_3$ - $0.1\text{Ba}(\text{Ga}_{1/2}\text{Ta}_{1/2})\text{O}_3$ - 0.02BaZrO_3 می‌باشد. علت انتخاب BaZrO_3 بعنوان افزودنی به ترکیب مورد مطالعه توسط رنی و همکاران [۹] این می‌باشد که افزایش ترکیب فوق تا میزان 0.05 mol در سرامیک‌های $\text{Ba}(\text{Zn}_{1/3}\text{Ta}_{2/3})\text{O}_3$ که ساختار یکسان با ترکیب پایه $\text{Ba}(\text{Zn}_{1/3}\text{Nb}_{2/3})\text{O}_3$ دارند باعث بهبود فاکتور کیفیت شد [۱۰].

۲- نحوه آزمایش

کربنات باریم، اکسید روی، اکسید کبالت، اکسید نایوبوم، اکسید گلیوم، اکسید تتالم، اکسید زیرکونیوم با خلوص بالاتر از ۹۹/۵٪ بر اساس ترکیب $0.88\text{Ba}[(\text{Zn}_{0.6}\text{Co}_{0.4})_{1/3}, \text{Nb}_{2/3}]\text{O}_3$ - 0.02BaZrO_3 - $0.1\text{Ba}(\text{Ga}_{1/2}\text{Ta}_{1/2})\text{O}_3$ توزین شدند. ترکیب فوق بطور اختصار به صورت BZCN-BGT-BZr بیان می‌شود. مخلوط پودرها در بچ‌های ۱۵ گرمی تهیه و توسط آسیاب سیاره‌ای (Germany، مدل Fritsch 05.102) آسیاب شد. سپس دوغاب حاصله در یک بشر قرار داده شد و در یک خشک کن به مدت ۸ ساعت خشک شد. برای کلسینه کردن، پودر خشک شده در بوتله آلومینائی قرار داده شد و در یک کوره الکتریکی (Carbolite, RHF 17/10E, England) در دمای 1100°C به مدت ۴ ساعت حرارت داده شد. پرس قطعات توسط یک پرس تک محور (SPECAC, England) در فشار 100MPa انجام شد. سپس نمونه‌ها در یک کوره دمای بالا در دماهای 1350 ، 1400 ، 1425 ، 1450 ، 1475 ، و 1500°C به مدت 30min سینتر شدند. زمان سینتر کوتاه بدلیل حضور

دارای ترکیب متفاوت، ساختار بی‌نظم مکعبی ساده پروسکایت را دارند. برای ترکیبات $x=0/2$ و $x=0/8$ اثر دمای سینتر بر ثابت دی‌الکتریک ناچیز می‌باشد. این در حالی است که برای ترکیبات $x=0/4$ و $x=0/6$ ضریب دی‌الکتریک ابتدا افزایش قابل ملاحظه‌ای در محدوده 1350°C تا 1400°C دارد و سپس در بالاتر از 1400°C ثابت می‌ماند. دانسیته نیز تغییرات مشابهی را با دمای سینتر دارد که این مشاهده وابستگی میان ضریب دی‌الکتریک و دانسیته را مشخص می‌کند. دمای سینتر اثر قابل ملاحظه‌ای بر $Q \times f$ دارد. تمامی ترکیبات $Q \times f$ ماکزیمی را در دمایی متفاوت از خود نشان می‌دهند، که مثلاً برای $x=0$ ماکزیم $Q \times f$ در 1390°C اتفاق افتاد. ضریب دمائی فرکانس رزونانس نیز تقریباً بطور خطی با x کاهش می‌یابد و به $-0/11\text{ ppm}/^\circ\text{C}$ در $x=0/8$ می‌رسد. مشاهده این رفتار نیز قابل تفسیر است زیرا که τ_f برای $\text{Ba}(\text{Co}_{1/3}\text{Nb}_{2/3})\text{O}_3$ منفی و برای $\text{Ba}(\text{Zn}_{1/3}\text{Nb}_{2/3})\text{O}_3$ مثبت است. دسترسی به τ_f نزدیک به صفر در $x=0/8$ از نتایج خوب این تحقیق بود (ضریب دی‌الکتریک این سرامیک 33 و $Q \times f$ آن $20,248\text{ GHz}$ بود).

رنی و همکاران [۹] با استفاده از آزمایشات سرد کردن سریع (quenching) اقدام به تعیین دمای استحاله نظم-بی‌نظم در سرامیک $0.9\text{Ba}[(\text{Zn}_{0.60}\text{Co}_{0.4})\text{Nb}_{2/3}]\text{O}_3$ - $0.1\text{Ba}(\text{Ga}_{0.5}\text{Ta}_{0.5})\text{O}_3$ نمودند. $Q \times f$ ، ϵ_r و τ_f سرامیک‌های فوق بعد از سینتر در دمای 1350°C برترتیب 97600 GHz ، 35 و 0 ppm بود. برای انجام آزمایشات سرد کردن سریع، نمونه‌ها پس از سینتر در دماهای 1100 ، 1200 ، 1300 ، 1400 درجه سانتیگراد بمدت 16 ساعت آنیل گردیده و سپس بداخل آب انداخته شدند. آنالیز XRD وجود نظم را تأیید نکرد و همه نمونه‌ها به نظر ساختار مکعبی ساده پروسکایت (بی‌نظم) را داشتند. با اینحال انجام آنالیز TEM نشان داد که نمونه‌های سرد شده از دمای 1100°C نظم ۱:۲ را بطور مشخص (نظم برد طولانی long range order) دارا هستند. اما وجود پیک‌های ضعیف مربوط به نظم ۱:۱، وجود نظم ۱:۱ با برد کوتاه (short range order) را نیز تأیید می‌کند. برای دماهای سرد کردن بالاتر 1200°C ، دو نظم ۱:۱ با برد کوتاه و ۱:۲ با برد کوتاه مشاهده شد. بدین ترتیب دمای استحاله فازی نظم-بی‌نظم برای نظم ۱:۲، در حدود 1200°C پیشنهاد شد. وجود نظم برد کوتاه ۱:۱، در همه دماهای سرد کردن با این پیشنهاد تعبیر شد

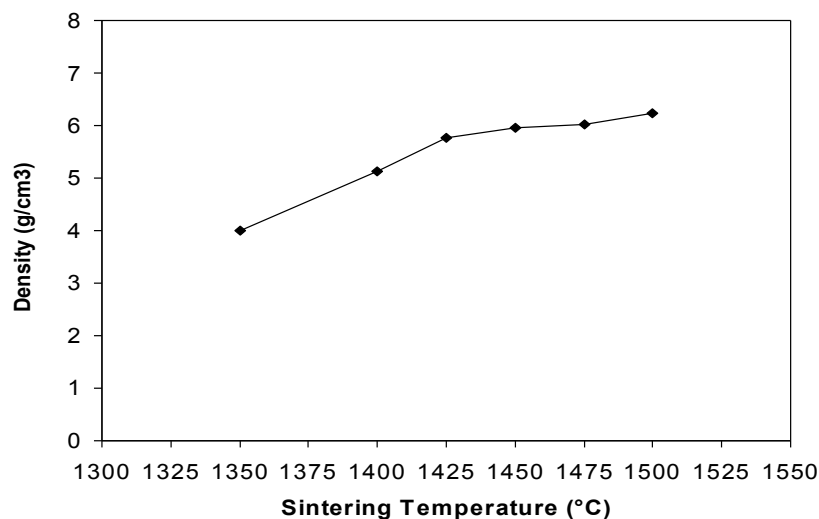
BGT-BZr در شکل (۱) نشان داده شده است. دانسیته در اثر افزایش دمای سینتر افزایش می یابد. با اینحال میزان این افزایش تا حدود 1425°C شیب زیادتری نسبت به دماهای بالاتر دارد. شکل (۲) تغییرات درصد کاهش وزن را بر اثر افزایش دمای سینتر نشان می دهد. افزایش کاهش وزن در اثر افزایش دما، بدلیل خروج مواد فرار (Zn و Co) از نمونه می باشد [۷]. دانسیته در اثر افزایش دما بعلاوه بهبود سینتر افزایش می یابد. این در حالی است که بالا رفتن دما کاهش وزن را افزایش داده و باعث کاهش در دانسیته می گردد. مشاهده افزایش در دانسیته در اثر افزایش دما نشان دهنده این واقعیت است که افزایش در دانسیته بدلیل سینتر بر کاهش در دانسیته در اثر تبخیر Zn و Co غلبه می کند.

مواد فرار ZnO و CoO در ترکیب می باشد. دستگاه مورد استفاده جهت انجام آزمایشات پراش اشعه X در این تحقیق ساخت شرکت Philips (Netherlands) مدل ۳۷۱۰ با مشخصات $V=40\text{ kV}$ ، $I=30\text{ mA}$ و اشعه بکار رفته $\text{CuK}\alpha$ با طول موج $\lambda=1.5404\text{ \AA}$ بود. برای اندازه گیری پارامترهای شبکه از روش ارائه شده توسط کالیتی [۱۱] استفاده شد. اندازه گیری های دی الکتریکی در فرکانس های میکروویو از روش هکی و کولمن [۱۲] و توسط دستگاه (hp Network Analyser 8510B, USA) انجام شد.

۳- نتایج و بحث

۳-۱- دانسیته و کاهش وزن

اثر دمای سینتر بر روی دانسیته سرامیکهای BZCN-



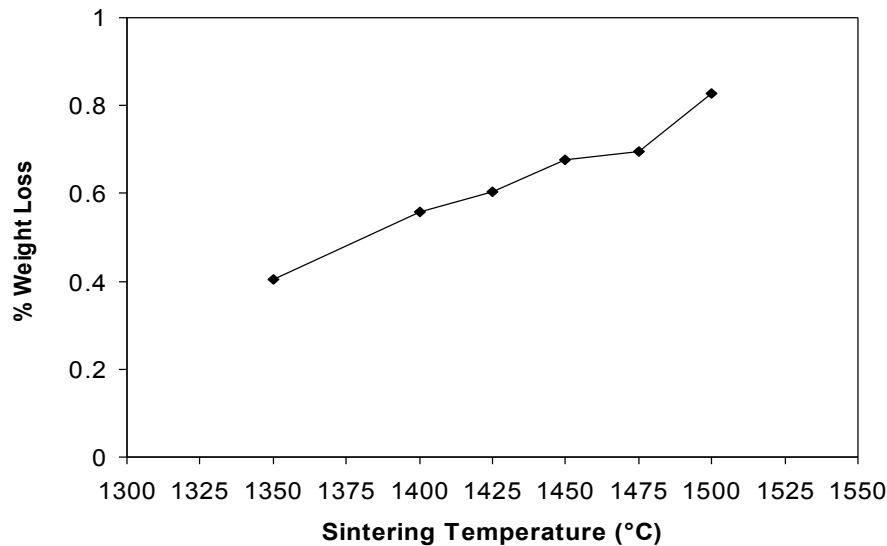
شکل ۱. نمودار تغییرات دانسیته در اثر افزایش دمای سینتر.

۳-۲- آنالیز XRD

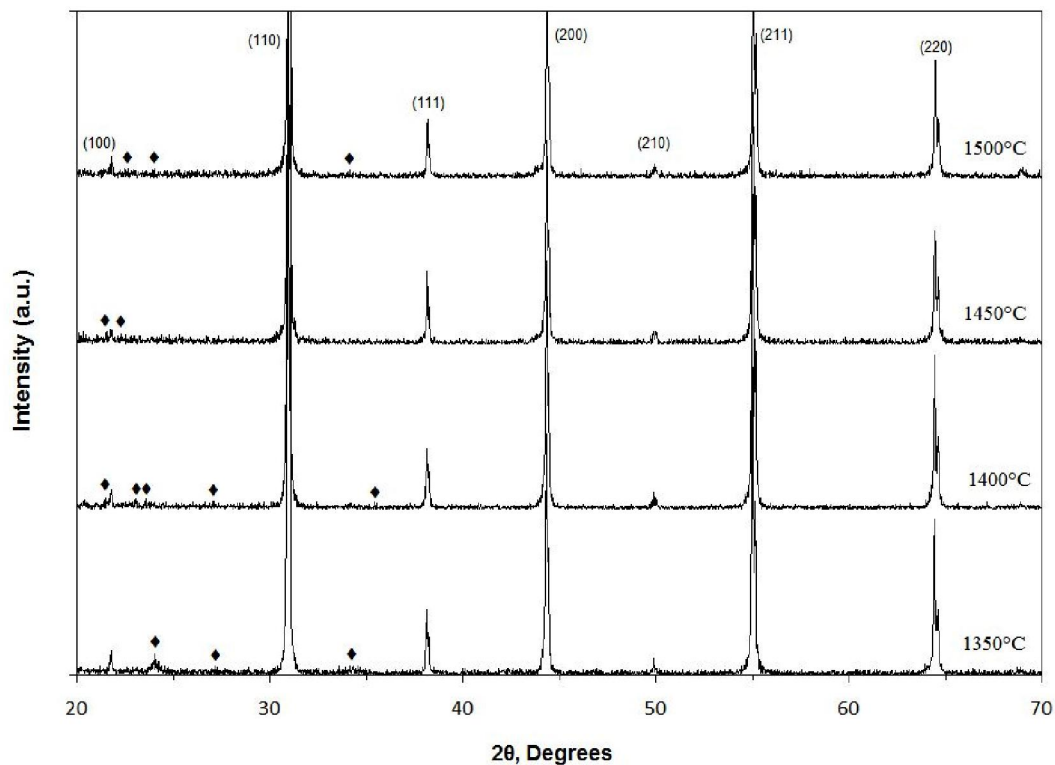
را می دهد که احتمال وجود سوپر ساختار بهتر بررسی گردد [۱۵]. شکل (۴) طیف اشعه X در محدوده فوق برای دماهای سینتر متفاوت را نشان می دهد. در هیچیک از دماهای سینتر اعوجاج در شبکه در اثر وجود سوپر ساختار مشاهده نمی گردد. در صورت وجود اعوجاج در شبکه پیک (۴۲۰) مربوط به فاز بی نظم مکعبی ساده تبدیل به دو پیک (۴۲۲) و (۲۲۶) در فاز با نظم هگزاگونال می شود.

الگوهای XRD ترکیب BZCN-BGT-BZr با دماهای سینتر متفاوت در شکل (۳) به نمایش در آمده است. نمودارهای فوق نشان دهنده حضور فاز (BZN) $\text{Ba}(\text{Zn}_{1/3}\text{Nb}_{2/3})\text{O}_3$ [۱۳] به همراه یک فاز دوم که غیر قابل شناسایی است، می باشد. از آنجائیکه پیک سوپر ساختار [۱۴] مشاهده نشد پیکها براساس ساختار مکعبی ساده پروسکایت نامگذاری شدند.

بررسی طیف اشعه X در محدوده 113° – 117° امکان این



شکل ۲. نمودار تغییرات درصد کاهش وزن در اثر افزایش دمای سینتر.



شکل ۳. الگوی اشعه X برای سرامیک BZCN-BGT-BZr سینتر شده در دمای ۱۳۵۰ تا ۱۵۰۰°C به مدت ۳۰ min. علامت \blacklozenge نشان دهنده پیک های مربوط به فاز دوم می باشد.

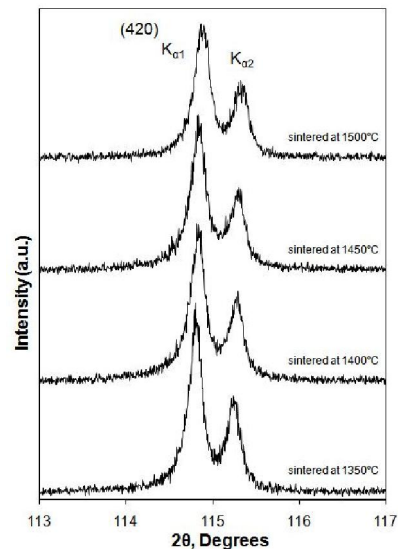
وجود سوپر ساختار را یا نظم ۱:۲ را نشان بدهد [۱۵]. با توجه به عدم تغییرات c/a با دمای سینتر این احتمال را می توان داد که نظم ۱:۲ تشکیل نگردیده است زیرا که در آن صورت شاهد افزایش در نسبت c/a در اثر افزایش درجه نظم ۱:۲ با افزایش دمای سینتر می بودیم. با اینحال بررسی دقیق حضور نظم ۱:۲

شکل (۵) تغییرات c/a یعنی نسبت ثوابت شبکه سوپر ساختار هگزاگونال را با دمای سینتر نشان می دهد. با توجه به نتایج مربوط به اعوجاج در شبکه شکل (۴) و عدم حضور پیک های سوپر ساختار شکل (۳) می توان احتمال داد که نظم تشکیل نشده است. محاسبه نسبت c/a احتمال دارد که بتواند

افزایش دمای سینتر از ۱۳۵۰ به ۱۵۰۰°C میزان $Q \times f$ بشدت افزایش یافته و به حدود ۱۶،۰۰۰ GHz می‌رسد.

در تحقیقی که توسط نوح و همکاران [۱۶] انجام شد مقدار $Q \times f$ برای سرامیک با ترکیب پایه $Ba(Zn_{1/3}Nb_{2/3})O_3$ (BZN) بین ۲۰،۰۰۰ تا ۶۰،۰۰۰ GHz برای نمونه‌های سینتر شده بین ۱۳۵۰ تا ۱۵۰۰°C گزارش شده است. میزان پایین $Q \times f$ نمونه‌های مربوط به این تحقیق نسبت به نمونه‌های تحقیقی که توسط نوح و همکاران [۱۶] صورت گرفته را می‌توان به حضور یونهای Co، Ga، Ta، Zr در شبکه BZN و حضور فاز دوم در ریز ساختار نسبت داد زیرا که فاز دومی در الگوی پراش اشعه X همه نمونه‌ها مشاهده شد شکل (۳). افزایش در $Q \times f$ در اثر افزایش دمای سینتر شکل (۶) ارتباط با افزایش دانسیته دارد شکل (۱). این افزایش را نمی‌توان به ارتقاء نظم در شبکه یا حضور سوپر ساختار در شبکه نسبت داد زیرا که پیک سوپر ساختار در الگوی پراش اشعه X مشاهده نشد شکل (۳). علاوه بر این احتمال وجود سوپر ساختار توسط بررسی اعوجاج در شبکه شکل (۴) و بررسی تغییرات نسبت c/a شکل (۵)، متفی شد. یادآور می‌شود که بررسی دقیق حضور نظم احتیاج به مطالعات پراش الکترونی توسط TEM دارد.

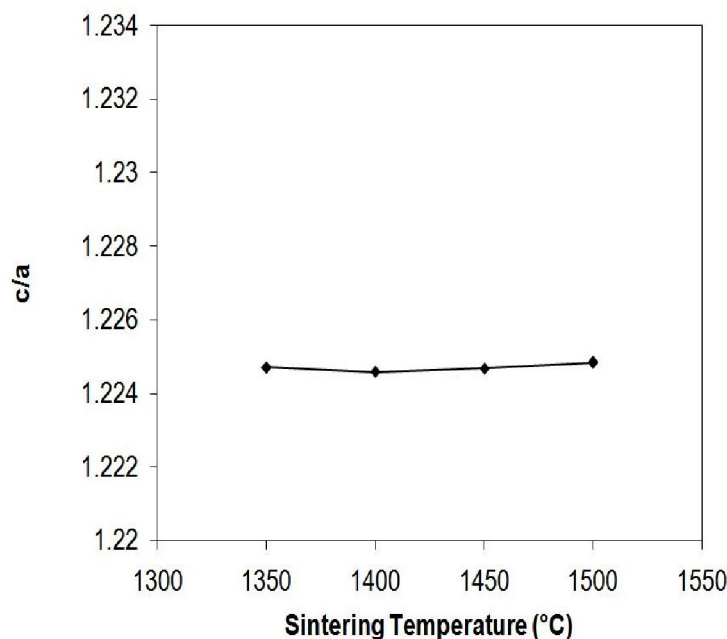
احتیاج به بررسی ساختار توسط تکنیک TEM دارد.



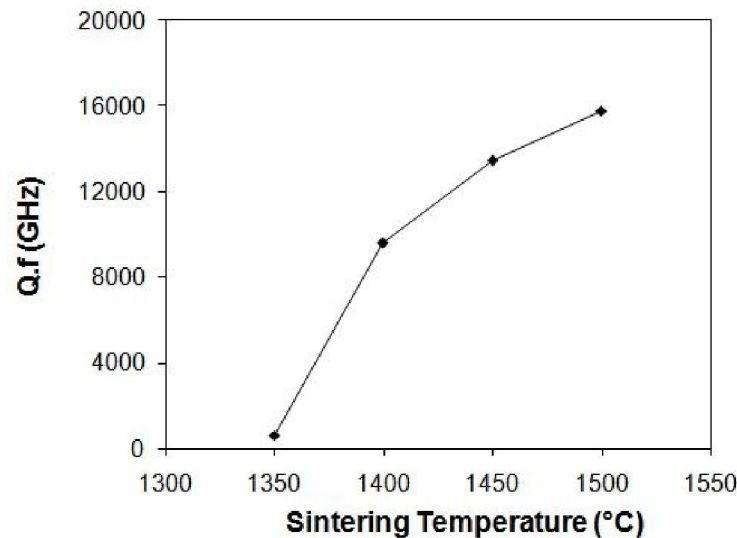
شکل ۴. الگوی اشعه X در محدوده ۱۱۳-۱۱۷° برای سرامیک BZCN-BGT-BZr سینتر شده در دماهای مختلف ب مدت ۳۰ min.

۳-۳ خواص دی الکتریک میکروویو

شکل (۶) تغییرات فاکتور کیفیت با افزایش دمای سینتر را برای سرامیک BZCN-BGT-BZr نشان می‌دهد. حاصل $Q \times f$ (که در آن f فرکانس اندازه گیری می‌باشد) برای نمونه با دمای سینتر ۱۳۵۰°C حدود ۶۰۰ GHz می‌باشد که بسیار پایین می‌باشد. با



شکل ۵. نسبت c/a برای سرامیک BZCN-BGT-BZr سینتر شده در دماهای مختلف ب مدت ۳۰ min.



شکل ۶. حاصل $Q \times f$ برای سرامیک BZCN-BGT-BZr سینتر شده در دماهای مختلف به مدت ۳۰ min.

۴- نتیجه گیری

افزایش دمای سینتر باعث بهبود دانسیته شد بطوریکه در 1500°C بالاترین دانسیته مشاهده شد. تغییرات فاکتور کیفیت ($Q \times f$) از تغییرات دانسیته تبعیت کرد و بالاترین میزان فاکتور کیفیت ($Q \times f$) که برابر با $16,000\text{GHz}$ بود در دمای 1500°C مشاهده شد. به نظر می‌رسد که افزایش در $Q \times f$ در اثر افزایش دمای سینتر بطور عمده در اثر افزایش در دانسیته باشد. افزایش دمای سینتر می‌تواند بر میزان نظم نیز تأثیر بگذارد، افزایش در فاکتور کیفیت با دمای سینتر را نمی‌توان به ارتقاء نظم در شبکه یا حضور سوپر ساختار در شبکه نسبت داد زیرا که پیک سوپر ساختار در الگوی پراش اشعه X مشاهده نشد. احتمال وجود سوپر ساختار توسط بررسی اعوجاج در شبکه و بررسی تغییرات نسبت c/a و c و پارامترهای شبکه هگزاگونال سوپراساختار هستند) نیز مورد مطالعه قرار گرفت، که عدم حضور نظم را تأیید کرد، با اینحال بررسی دقیق حضور نظم احتیاج به مطالعات پراش الکترونی توسط TEM دارد.

مراجع

- Wersing, W., Microwave Ceramics for Resonators and Filters, *Current Opinion in Solid State & Materials Science*. 1[5] (1996) 715-731.
- S. Kawashima, S., Nishida, M, Ueda, I, Ouchi, H, $\text{Ba}(\text{Zn}_{1/3}\text{Ta}_{2/3})\text{O}_3$ Ceramics with Low Dielectric Loss at Microwave Frequencies, *Journal of the American Ceramic Society*. 66 (1983) 421-423.
- Davies, P.K., Tong, J., Negas, T, Effect of Ordering-Induced Domain Boundaries on Low-Loss $\text{Ba}(\text{Zn}_{1/3}\text{Ta}_{2/3})\text{O}_3 - \text{BaZrO}_3$ Perovskite Microwave Dielectrics, *Journal of the American Ceramic Society*. 80[7] (1997) 1727-1740.
- Scott, R.I., Thomas, M, and Hampson, C, Development of Low Cost, High Performance $\text{Ba}(\text{Zn}_{1/3}\text{Nb}_{2/3})\text{O}_3$ Based Materials for Microwave Resonator Applications, *Journal of the European Ceramic Society*. 23 (2003) 2467-2471.
- Brixner, L.H., Preparation and Structure Determination of Some New Cubic and Tetragonally-Distorted Perovskites, *Journal of Physical Chemistry*. 64 (1960) 165-166.
- Chen, J., Chan, H., Harmer, M.P., Ordering Structure and Dielectric Properties of Undoped and La/Na-doped $\text{Pb}(\text{Mg}_{1/3}\text{Nb}_{2/3})\text{O}_3$, *Journal of the American Ceramic Society*. 72[4] (1989) 593-598.
- Yue, Z., Zhao, F., Zhang, Y., Gui, Z., Li, L., Microwave dielectric properties of $\text{Ba}[(\text{Zn}_{1-x}\text{Co}_x)_{1/3}\text{Nb}_{2/3}]\text{O}_3$ ceramics, *Materials Letters*. 58[12-13] (2004) 1830-1834.
- Reaney, R.I, Iqbal, Y., Zheng, H., Feteira, A., Hughes, H., Iddles, D., Muir, D., Price, T., Order-Disorder Behavior in $0.9 \text{Ba}[(\text{Zn}_{0.6}\text{Co}_{0.4})_{1/3}\text{Nb}_{2/3}]\text{O}_3-0.1\text{Ba}(\text{Ga}_{0.5}\text{Ta}_{0.5})\text{O}_3$ Microwave Dielectric Resonators, *Journal of the European Ceramic Society*. 25 (2005) 1183-1189.
- Tamura, H., Konoike, T., Sakabe, Y., Wakino, K., Improved High-Q Dielectric Resonator with Complex Perovskite Structure, *Journal of the American Ceramic Society*. 67 (1984) C-59-C-61.
- Cullity, B.D., Elements of X-Ray Diffraction, Addison-Wesley Publishing Company. (1978) 350-368.
- Jinga, S.I., Stoleriu, S., and Busuioac, C., Microwave dielectric properties of $\text{Ba}(\text{Zn}_{1/3}\text{Ta}_{2/3})\text{O}_3$ ceramics doped with Nb_2O_5 , MnO_2 or V_2O_5 , *Materials Research Bulletin*. 47[11] (2012) 3713-3718.

15. O'Bryan, H.M., Microwave Loss Quality of $BaZn_{1/3}Ta_{2/3}O_3$ Ceramics, *Journal of the American Ceramic Society*. 68[10] (1985) 546-551.
16. Noh, S.Y., Yoo, M.J., Nahm, S., Choi, C.H., Park, H.M., Lee, H.J., Effect of Structural Changes on the Microwave Dielectric Properties of $Ba(Zn_{1/3}Nb_{2/3})O_3$ Ceramics, *Japanese Journal of Applied Physics*, 2002, Part 1, Regular Papers and Short Notes and Review Papers. 41(5 A), 2978-2981.
12. Hakki, B.W., and Coleman, P.D., A Dielectric Resonator Method of Measuring Inductive Capacitance in the Millimeter Range, *IRE Transactions on Microwave Theory and Technology*. 8 (1960) 402-410.
13. JCPDS File Card No. 039-1474.
14. Galasso, F., and Pyle, J., Ordering in Compounds of the $A(B'_{0.33}Ta_{0.67})O_3$ Type, *Inorganic Chemistry*. 2 (1963) 482-484.